


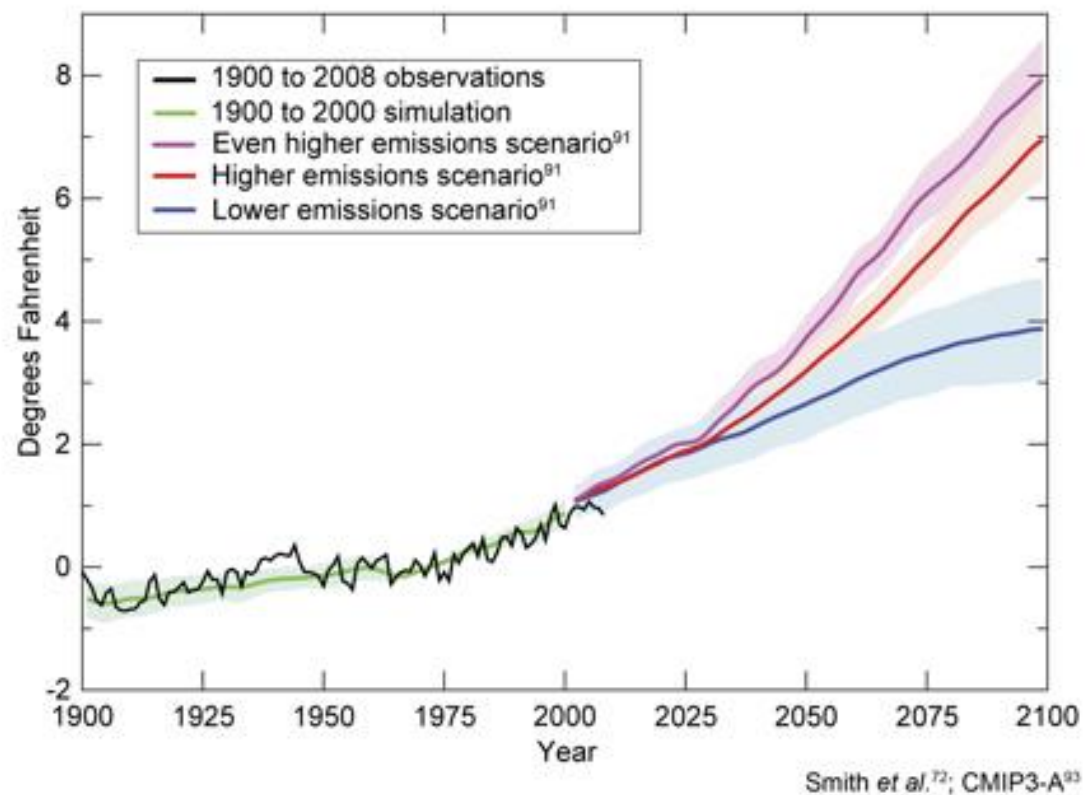
Aula 6 - Impacto das mudanças climáticas nos principais processos fisiológicos – Parte 2

Prof. Fábio Marin

The background of the slide is a photograph of an industrial facility, likely a power plant or refinery. Several tall, dark smokestacks are visible, each emitting a thick plume of white smoke that rises into the sky. The sky is filled with large, billowing white clouds, and the overall lighting is bright, suggesting a clear day. The industrial structures are silhouetted against the lighter sky.

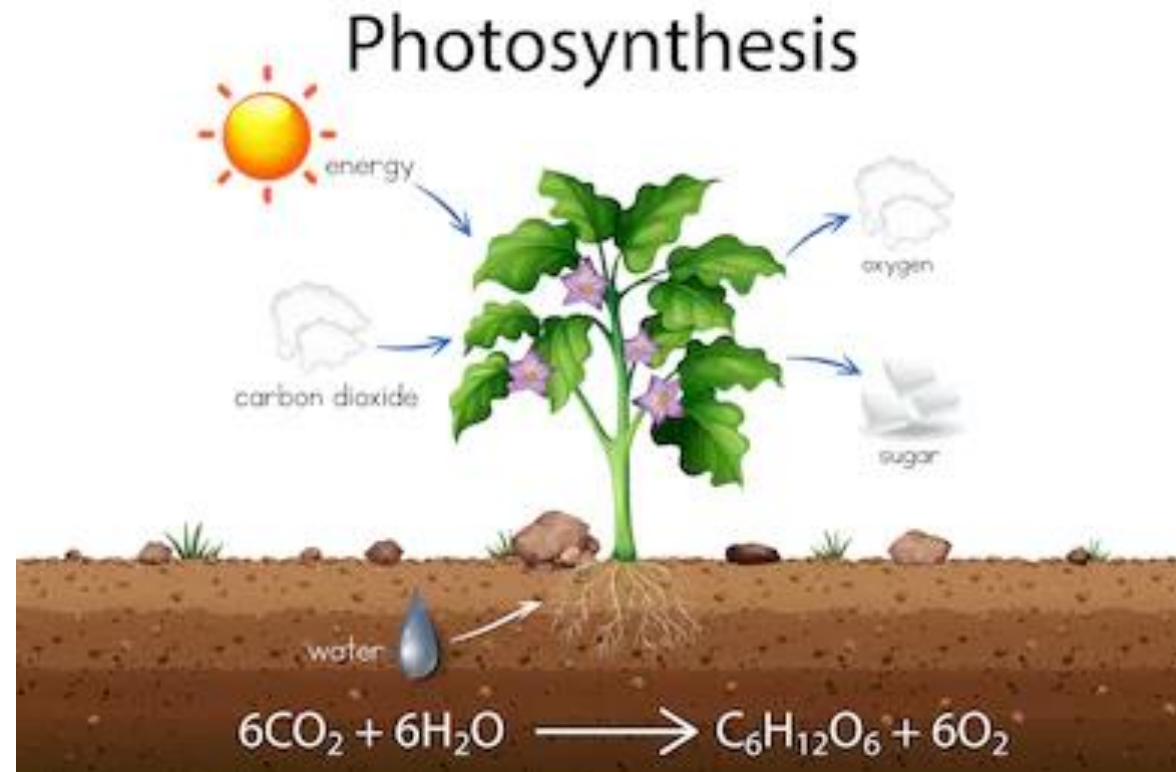
UNIVERSIDADE DE SÃO PAULO
ESCOLA SUPERIOR DE AGRICULTURA "LUIZ DE QUEIROZ"
DEPARTAMENTO DE ENGENHARIA DE BIOSISTEMAS
LEB0410 - Mudanças Climáticas e Agricultura

Tendências futuras de CO2

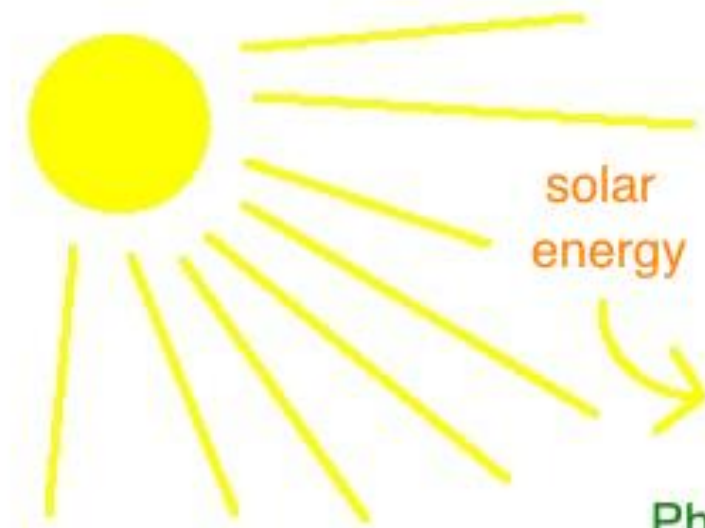


Observed and projected changes in the global average temperature under three IPCC no-policy emissions scenarios. The shaded areas show the likely ranges while the lines show the central projections from a set of climate models. A wider range of model types shows outcomes from 2 to 11.5°F.⁶⁸ Changes are relative to the 1960-1979 average.

O processo fotossintético



O processo fotossintético



Estequiometria

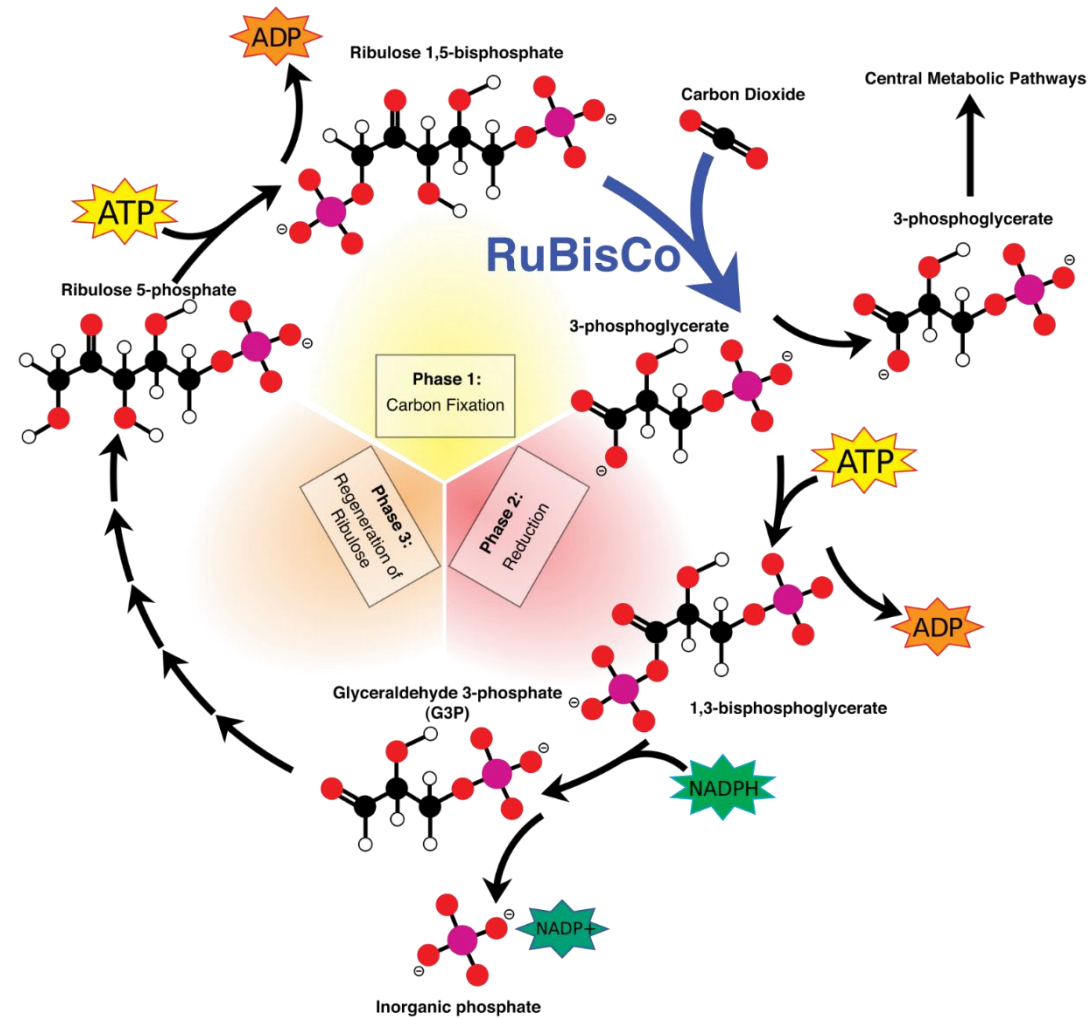
264g

108g

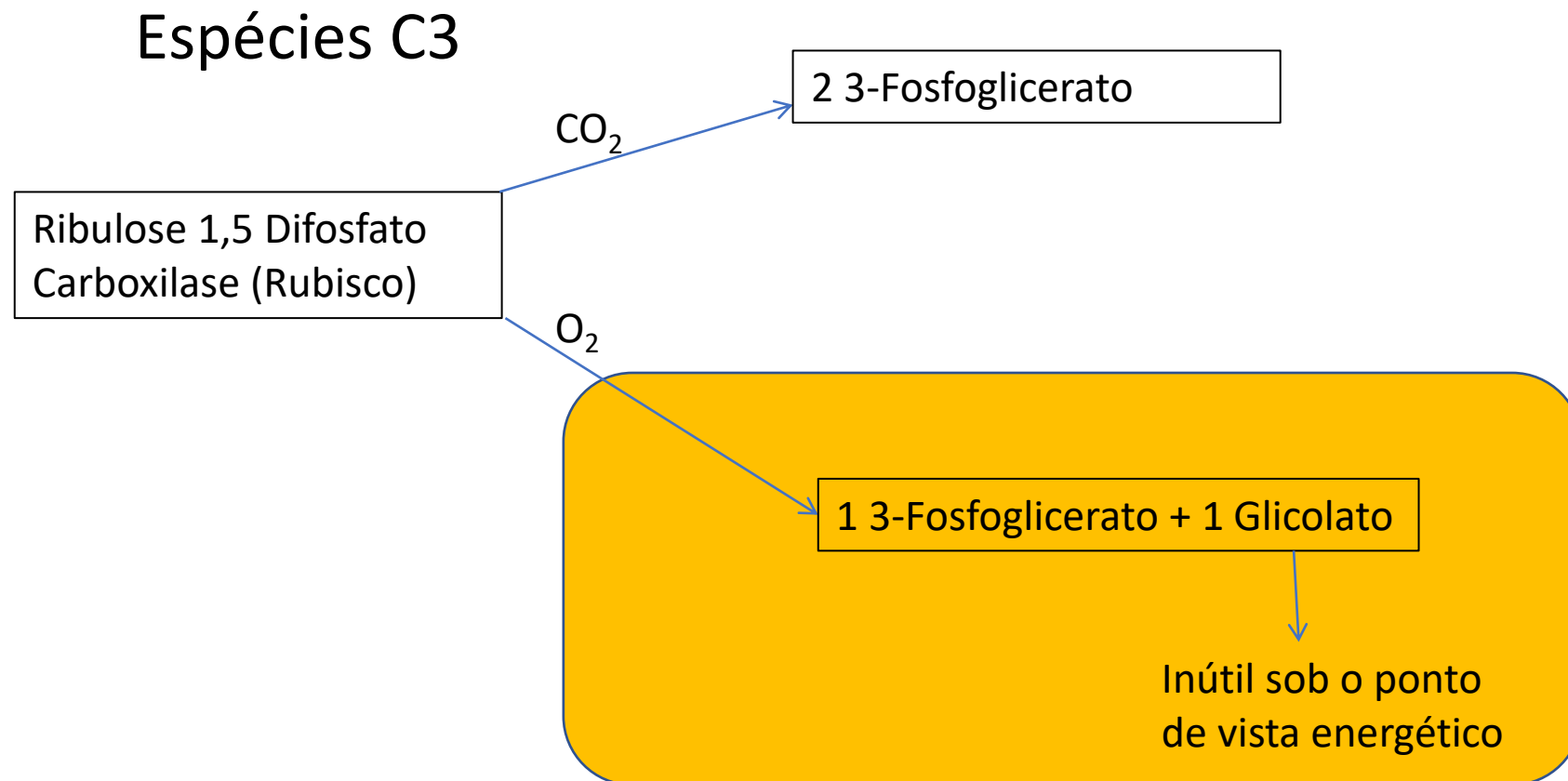
180g

192g

O processo fotossintético



O conceito de Fotorrespiração



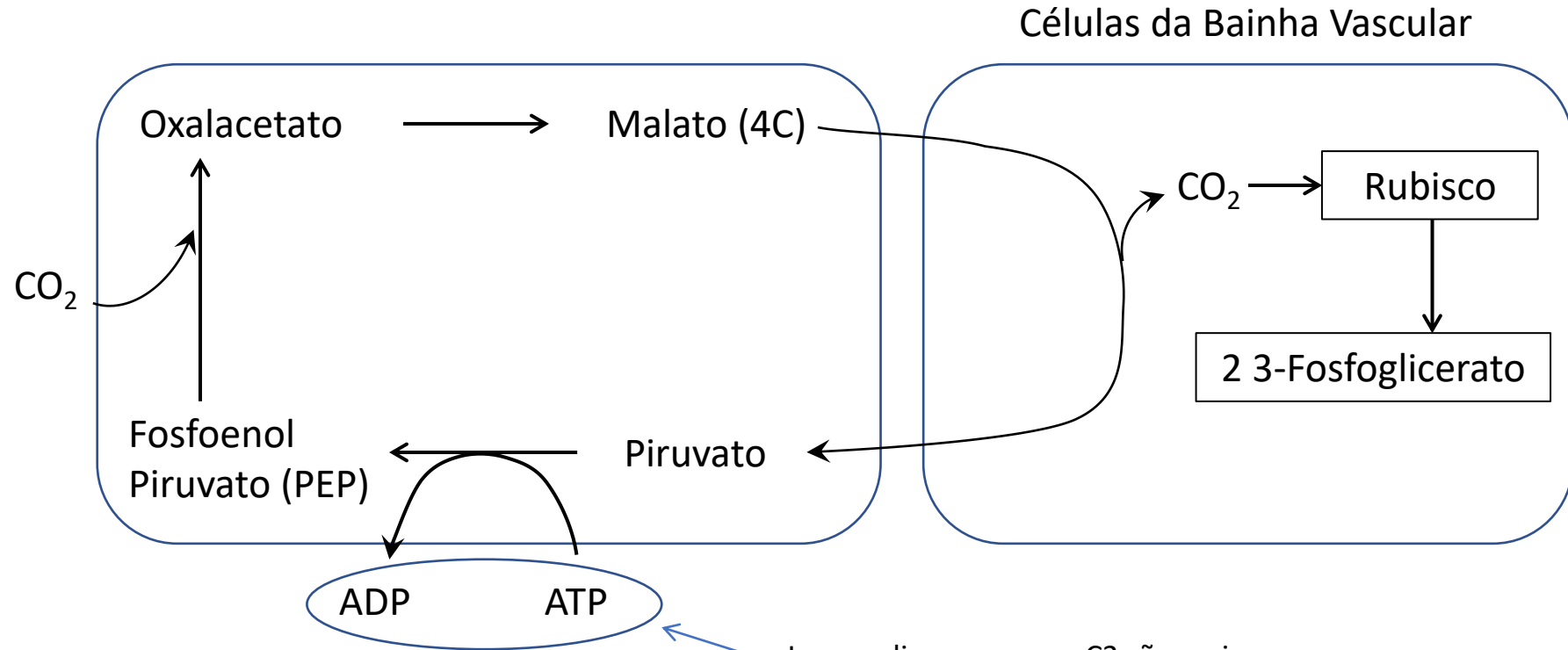
Fotorrespiração

Essa via metabólica é usada quando há alta concentração de O_2 nas células do mesofilo, ou sob alta temperatura

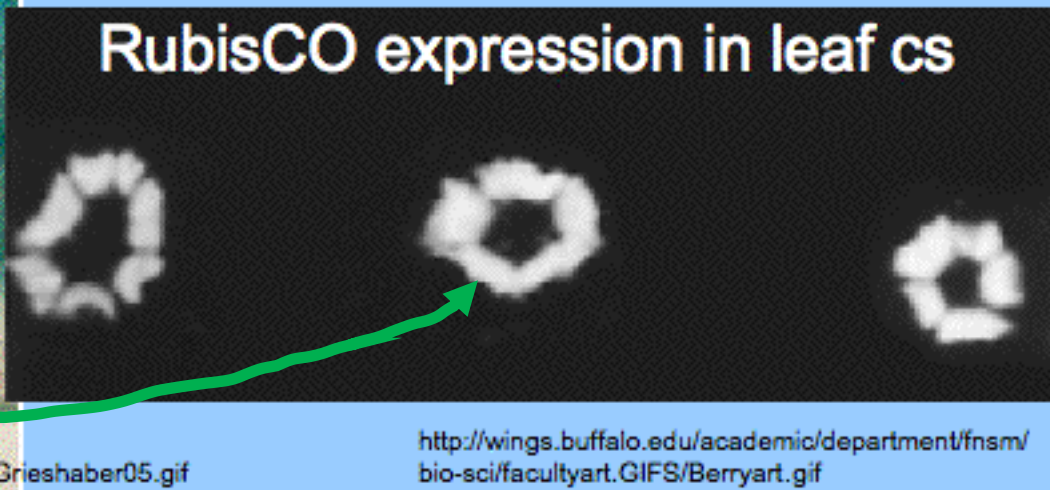
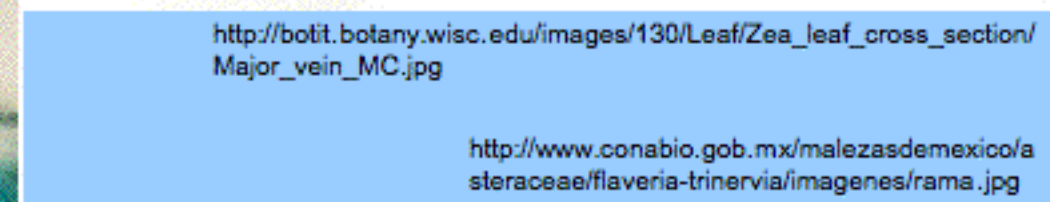
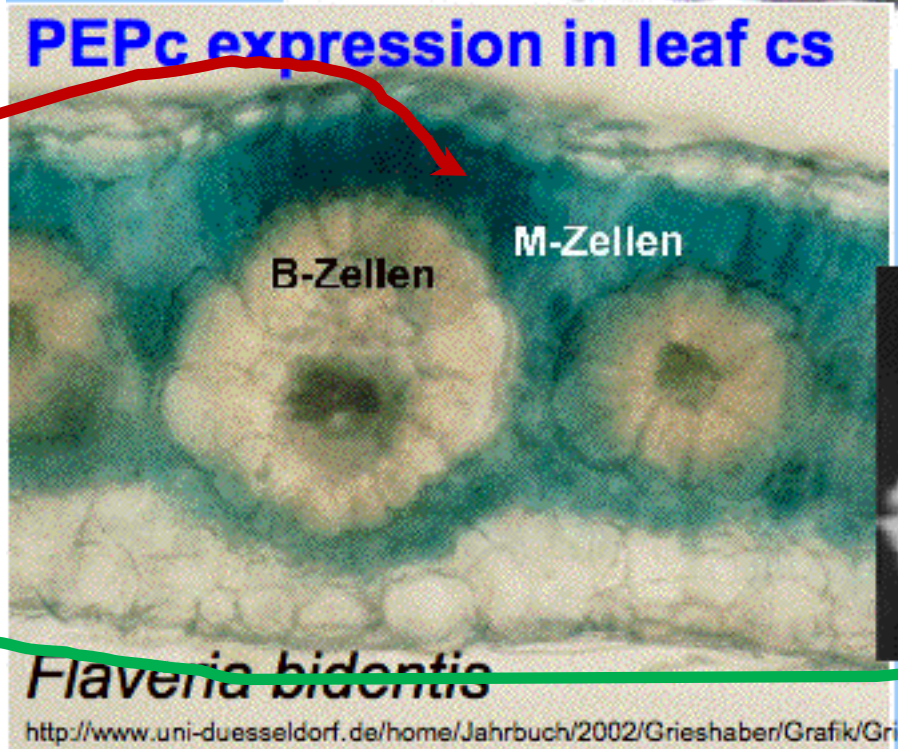
Mudança no Clima e a Produção Agrícola

Ciclo C4

Espécies C4

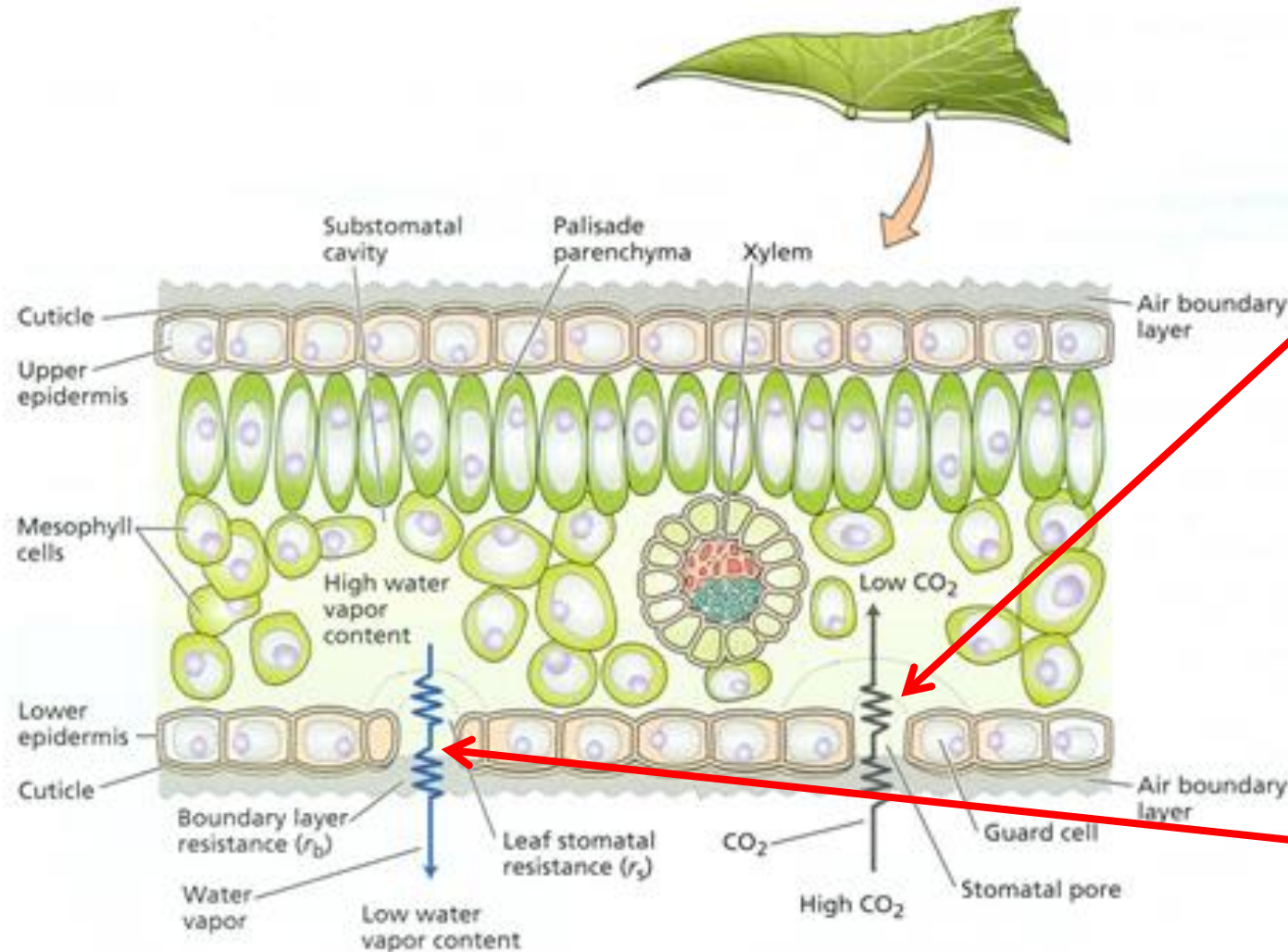


Isso explica porque as C3 são mais eficientes sob determinadas condições.



Observe que a **PEP** fica no mesófilo, enquanto a **RUBISCO** fica apenas dentro das bainha vascular, protegida do contato com o O₂

Transpiração e Absorção de CO₂ e os estômatos



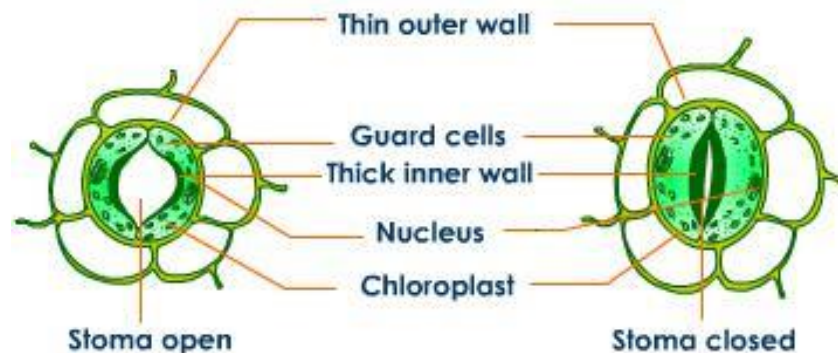
Note que este gradiente é o “motor” para o deslocamento do CO₂ para dentro o mesófilo. Se a diferença é grande, a célula pode fechar parcialmente os estômatos mantendo a mesma taxa de fluxo para dentro. Com isso, evita-se a perda de água.

Regulação Estomática

- Três fatores principais controlam a abertura estomática:

1) **Radiação solar** – fechamento no escuro;

2) **Estado hídrico das folhas** – células guarda túrgidas tornam-se ovaladas e se abrem, permitindo a saída de vapor d'água e a entrada de CO₂;



Com maior turgor, as células-guarda se abrem e permitem a transpiração e entrada de CO₂.

Estômato fechado por causa do baixo turgor das células-guarda

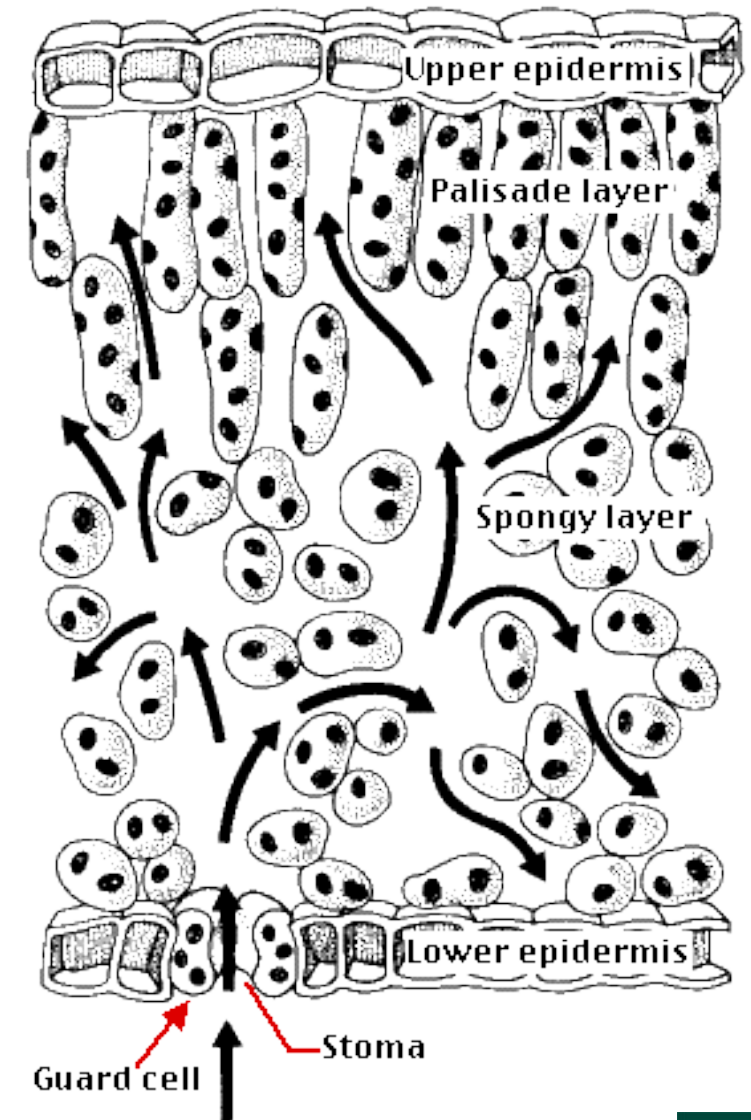


Estômato fechado por causa do baixo turgor das células-guarda

Com maior turgor, as células-guarda se abrem e permitem a transpiração e entrada de CO₂.

Regulação Estomática

- **3) Concentração de CO₂ no ambiente**
 - A queda na concentração de CO₂ interna desencadeia um caminho bioquímico que faz com que as células-guarda tornem-se túrgidas e reabram.
 - O fluxo de CO₂ é controlado pelo gradiente entre a atmosfera e o interior dos estômatos;
 - Pela teoria fluxo-gradiente, com o aumento na concentração externa, o gradiente é mantido mesmo com o estômato relativamente fechado, permitindo a redução da perda de água sem redução na taxa fotossintética.



Fotossíntese e CO₂

Figure 4.1 Typical photosynthesis response of plants to CO₂. Net photosynthesis of wheat is about 70 mg of CO₂ dm⁻²h⁻¹ compared with maize (about 55 mg of CO₂ dm⁻²h⁻¹) for equivalent light intensity (0.4 cal cm⁻² min⁻¹). Maize is saturated at a lower CO₂ concentration (c.450 ppmv) than wheat (c.850 ppmv). (Adapted from Akita and Moss, 1973).⁴

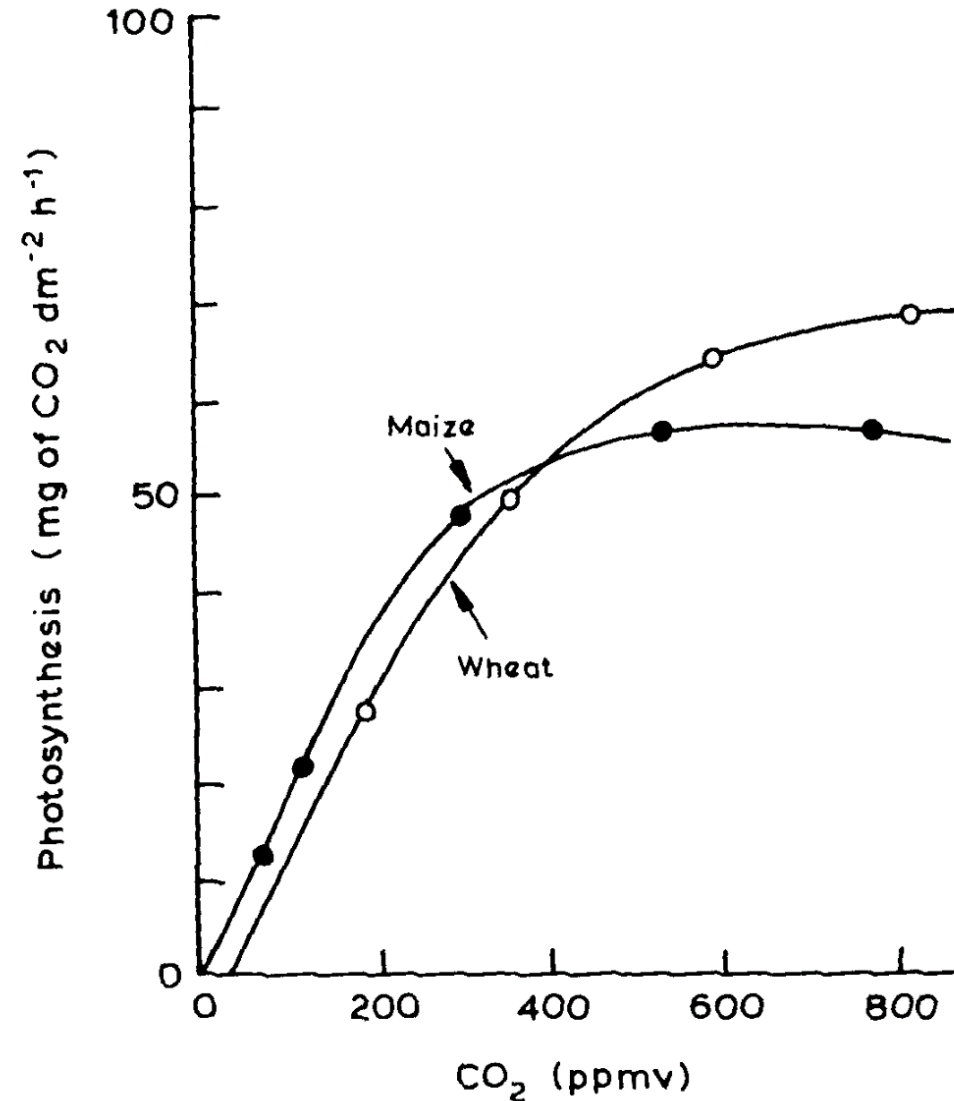
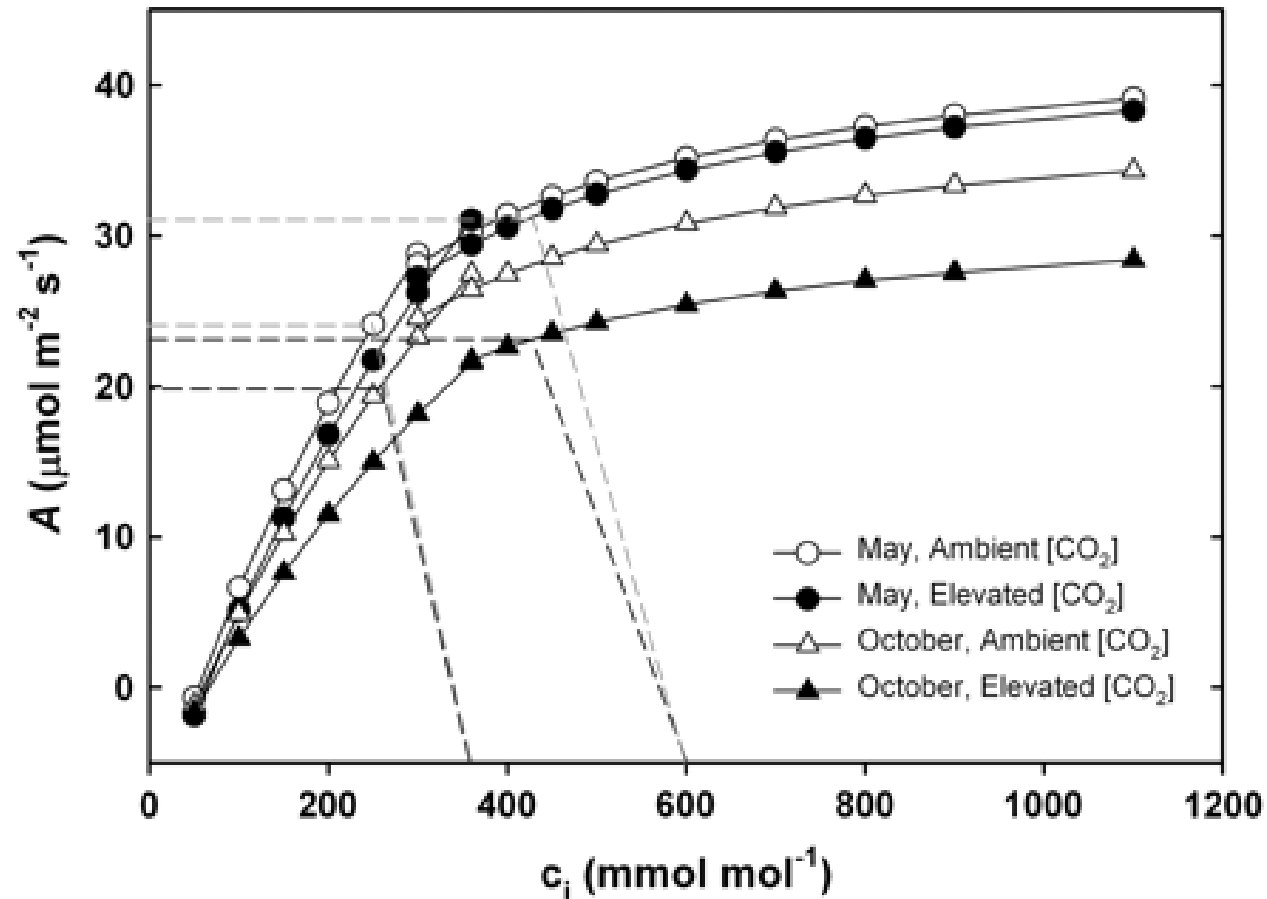


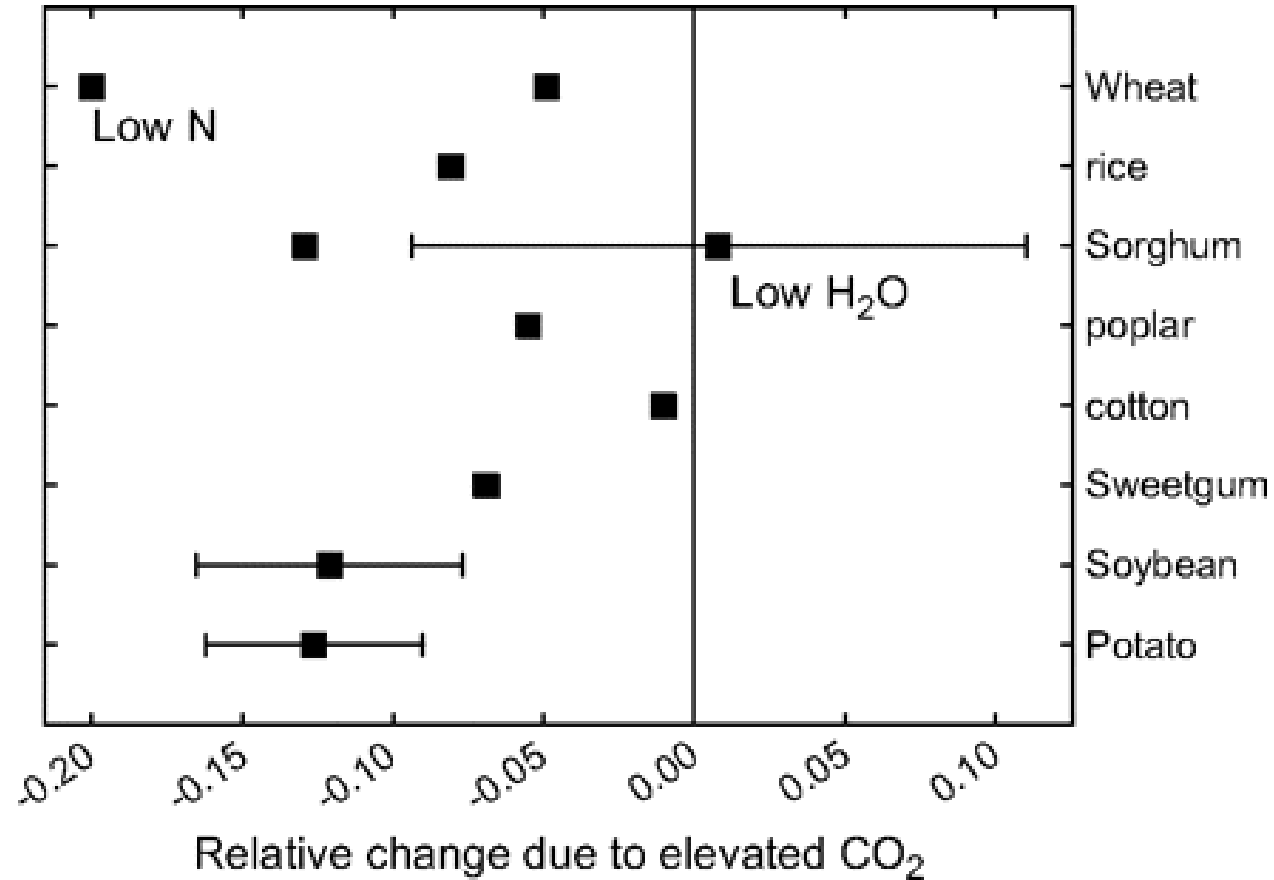
Fig. 1. Average plots of A/C_i response curves for *Trifolium repens* grown at ambient [CO_2] ($\sim 365 \dots$)
Trevo



J Exp Bot, Volume 60, Issue 10, July 2009, Pages 2859–2876, <https://doi.org/10.1093/jxb/erp096>

The content of this slide may be subject to copyright: please see the slide notes for details.

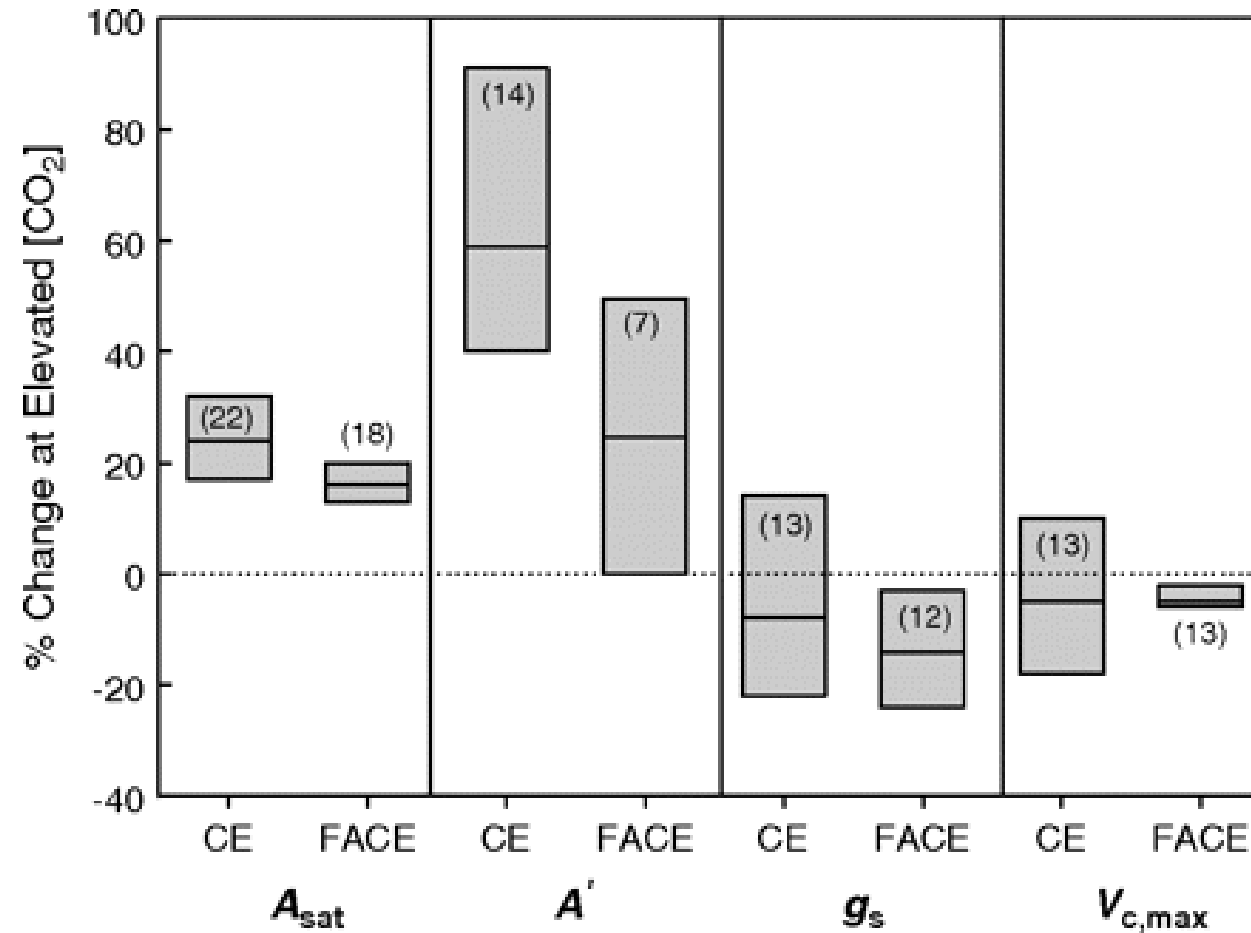
Fig. 2. A summary of results from FACE experiments of change in evapotranspiration as a result of growth in elevated ...



J Exp Bot, Volume 60, Issue 10, July 2009, Pages 2859–2876, <https://doi.org/10.1093/jxb/erp096>

The content of this slide may be subject to copyright: please see the slide notes for details.

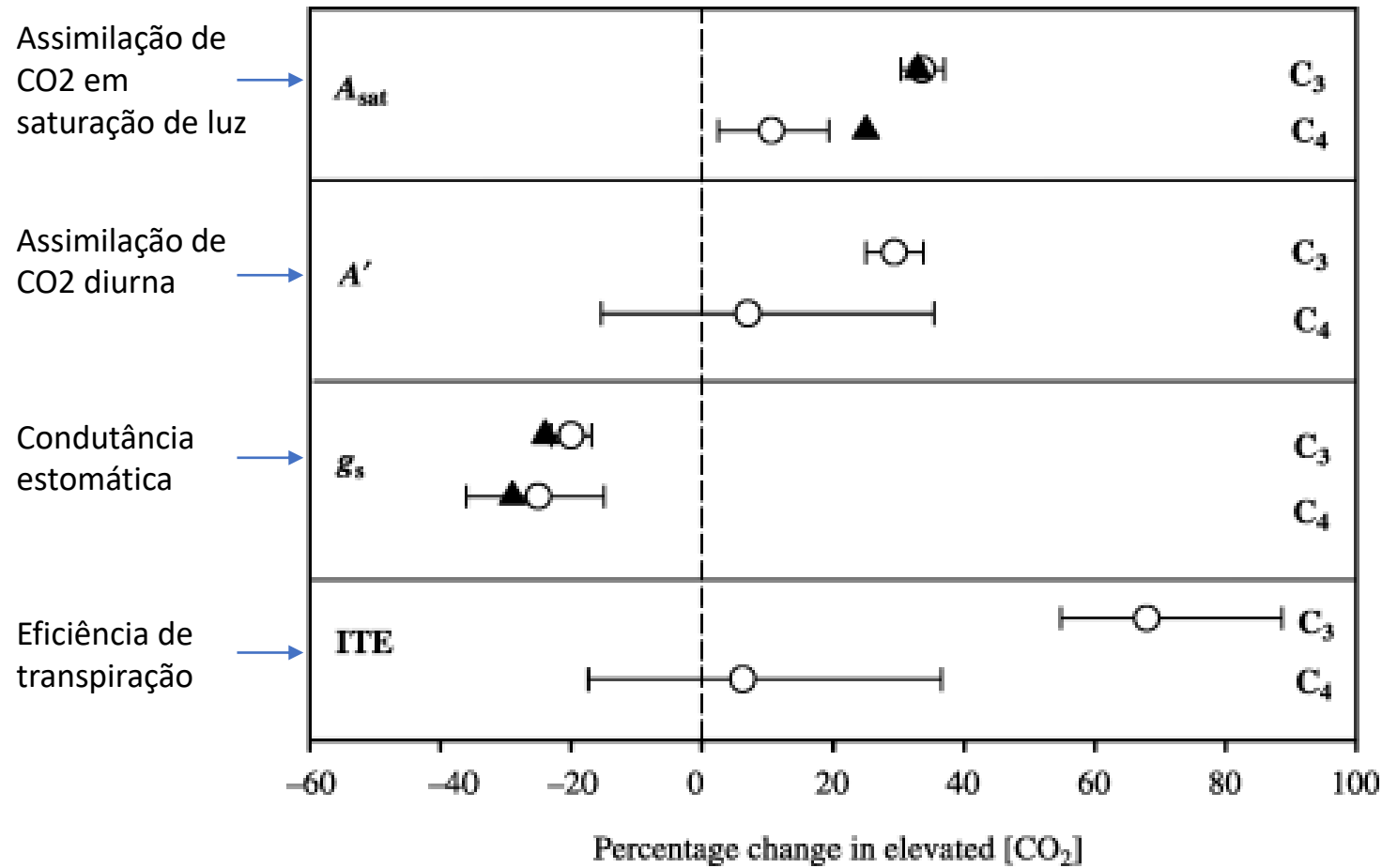
Fig. 5. A comparison of light-saturated photosynthesis (A_{sat}), daily carbon uptake (A'), stomatal conductance



J Exp Bot, Volume 60, Issue 10, July 2009, Pages 2859–2876, <https://doi.org/10.1093/jxb/erp096>

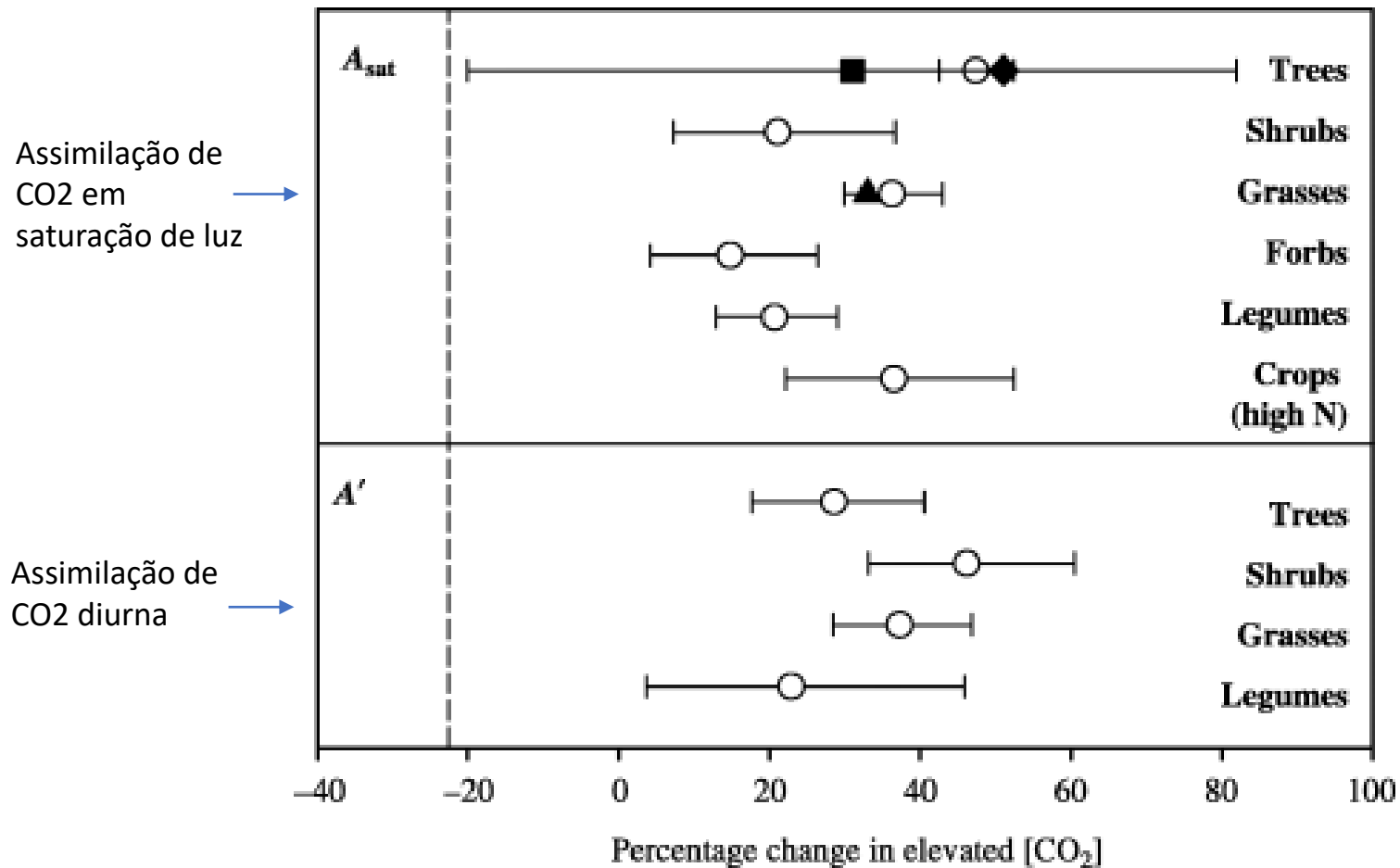
The content of this slide may be subject to copyright: please see the slide notes for details.

What have we learned from 15 years of free-air CO₂ enrichment (FACE)? A meta-analytic review of the responses of photosynthesis, canopy properties and plant production to rising CO₂



Comparative photosynthetic responses of C₃ and C₄ species to elevated [CO₂] enrichment. O, Results from this meta-analysis; ▲, comparative results from a prior meta-analysis of C₃ and C₄ wild grass (Poaceae) species ([Wand et al., 1999](#)).

New Phytologist, Volume: 165, Issue: 2, Pages: 351-372, First published: 18 November 2004, DOI: (10.1111/j.1469-8137.2004.01224.x)



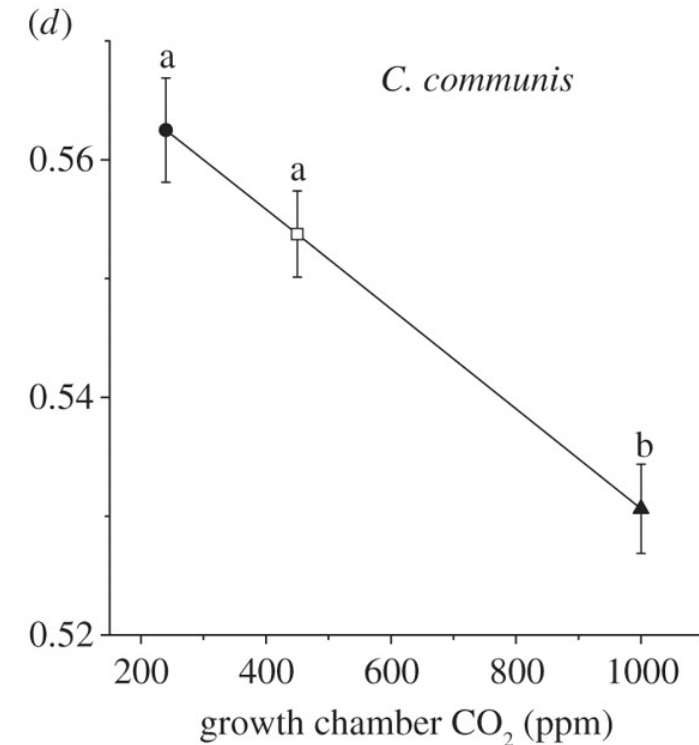
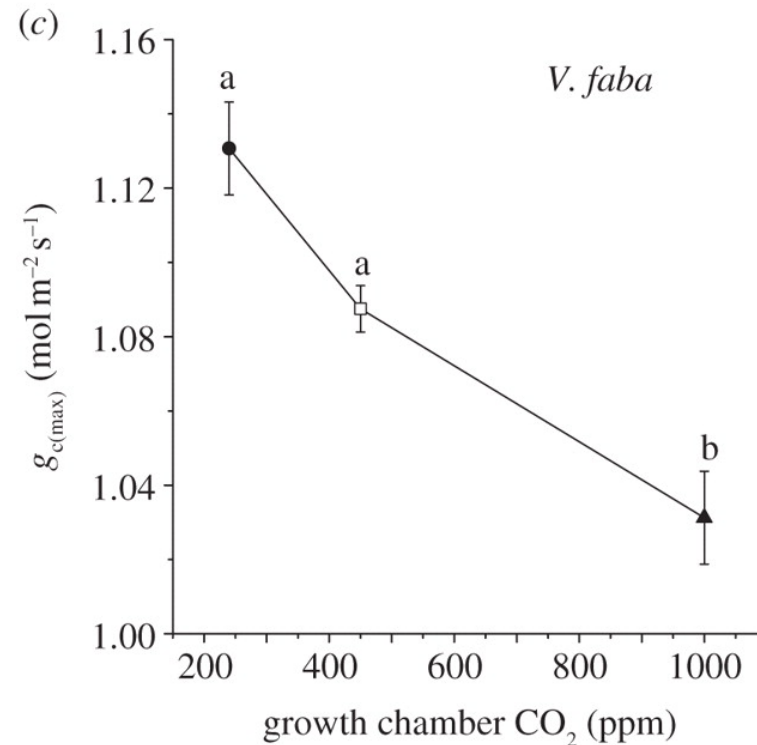
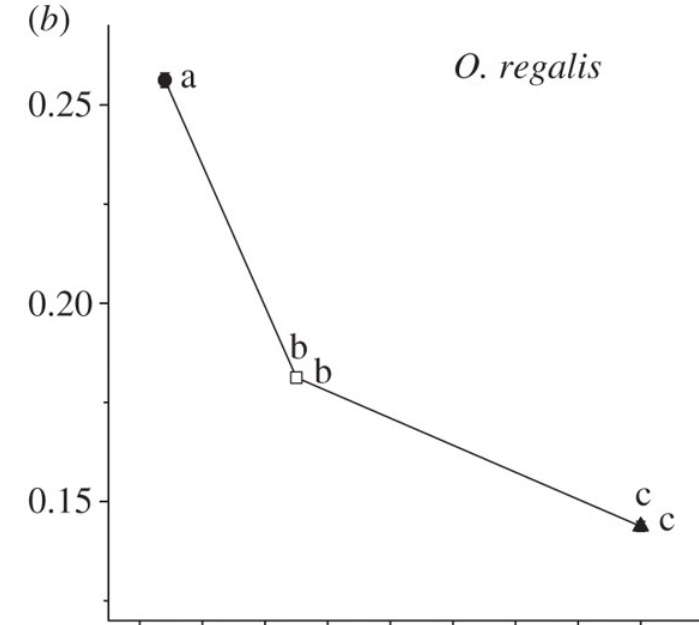
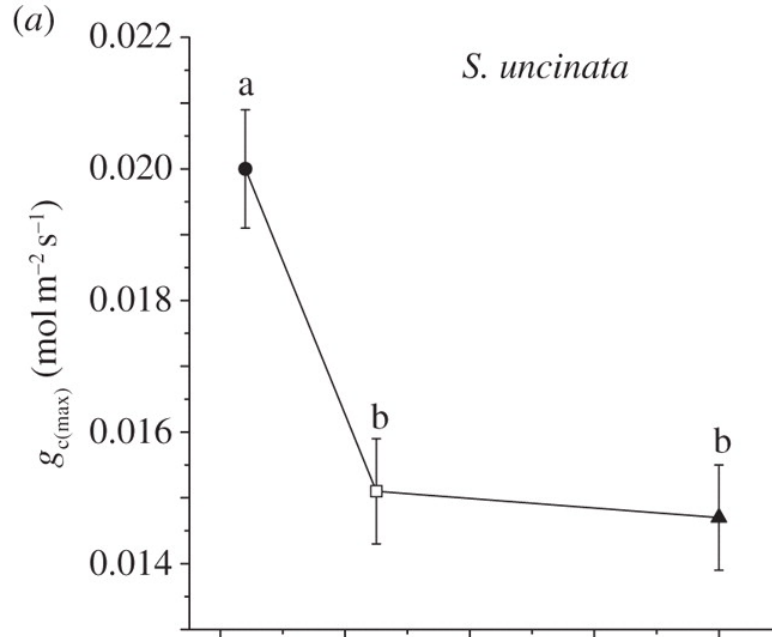
Comparative photosynthetic responses of different C₃ functional groups to elevated [CO₂]. Results from: ○, this meta-analysis; ◻, a meta-analysis of tree species ([Curtis & Wang, 1998](#)); ◊, a meta-analysis of European tree species ([Medlyn et al., 2001](#)); ▲, a meta-analysis of C₃ grasses ([Ward et al., 1999](#)).

New Phytologist, Volume: 165, Issue: 2, Pages: 351-372, First published: 18 November 2004, DOI: (10.1111/j.1469-8137.2004.01224.x)



CO₂ e abertura estomática

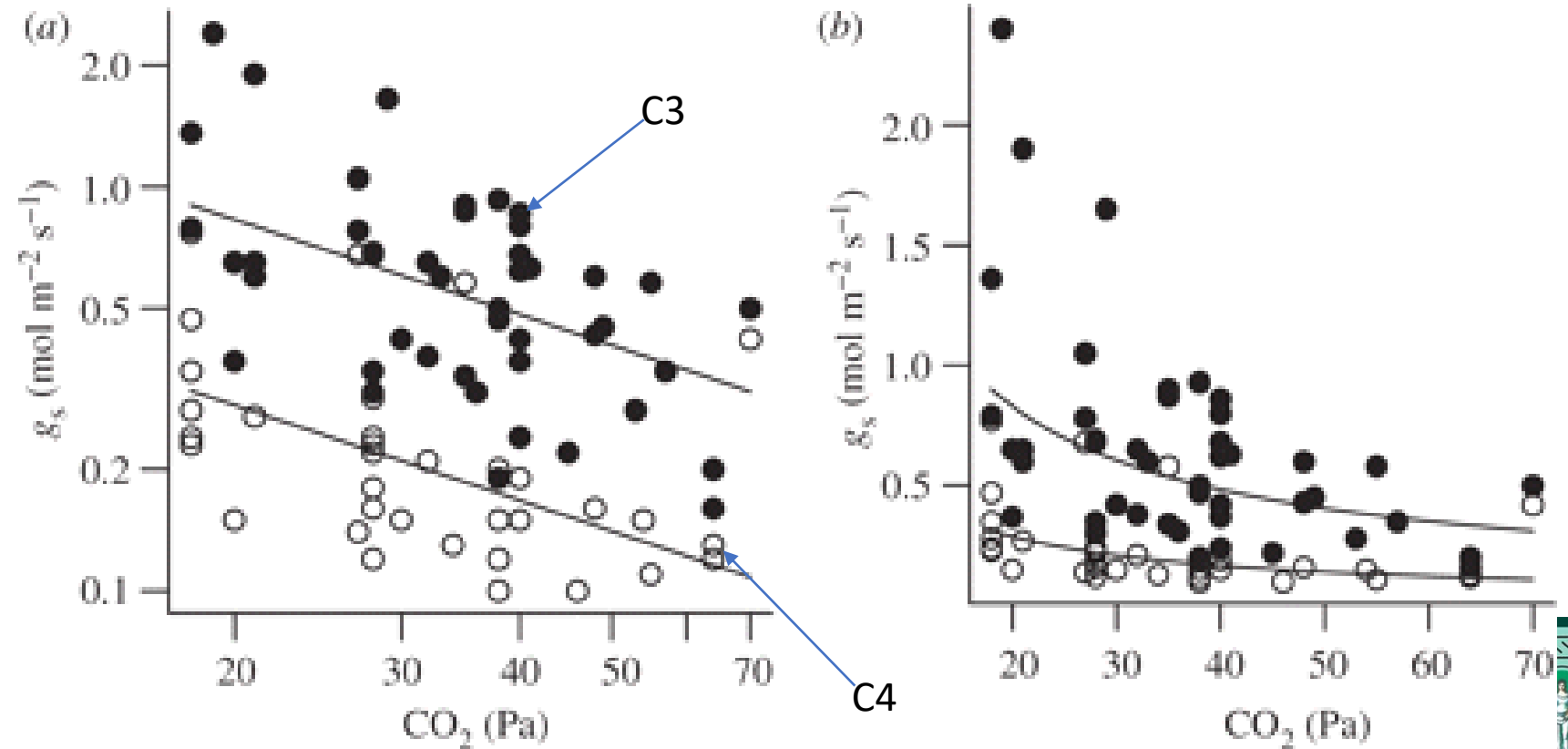
Observe que os estômatos (representado por g_s) tendem a fechar conforme aumenta a concentração de CO₂ no ambiente



CO₂ e abertura estomática

Stomatal conductance (g_s) for the leaves of C₃ and C₄ plants grown and measured under a range of different CO₂ partial pressures, with an emphasis on experiments investigating the effects of CO₂ below the current ambient level of approximately 40 Pa (data sources: [30,62–65]; electronic supplementary material). The data compilation is based on literature searches for studies reporting the leaf gas exchange of plants under sub-ambient CO₂. However, values for elevated CO₂ were included when they were reported as part of the same CO₂-gradient studies. The fitted curve for the C₃ species is $\ln(g_s) = 2.16 - 0.78 \ln(\text{CO}_2)$, and for the C₄ is $\ln(g_s) = 1.10 - 0.78 \ln(\text{CO}_2)$. Data and curves are shown on (a) log and (b) linear plots to illustrate relative and absolute sensitivity to CO₂, respectively. The fitted curves produce effect sizes for g_s at elevated CO₂ in C₃ and C₄ grasses that fall within confidence intervals of previous meta-analyses [66,67]. Filled circles, C₃; open circles, C₄.

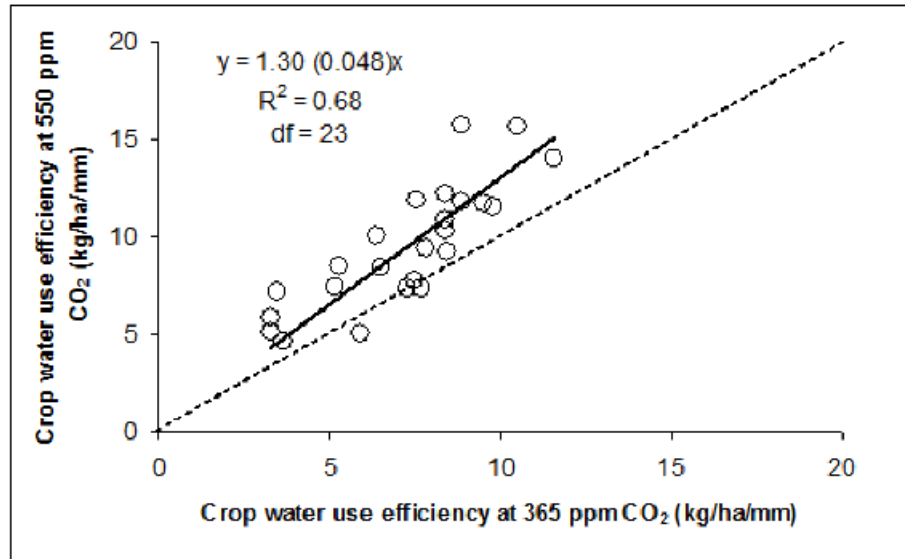
Observe que os estômatos (representado por g_s) tendem a fechar conforme aumenta a concentração de CO₂ no ambiente



Relação - CO₂ X Produtividade da água

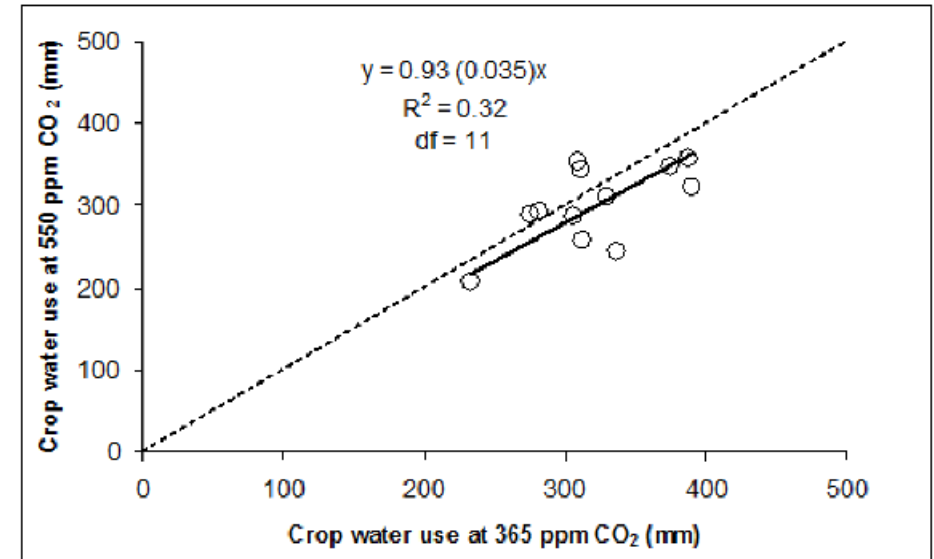
Observe que a produção de matéria seca por milímetro de água consumido aumenta conforme sobe a concentração de CO₂ no ar.

Produtividade da Água



Comparison of water use efficiency response under elevated CO₂ compared to daytime ambient conditions (365 ppm) of wheat (cv. Yitpi) showing significant ($P < 0.05$) mean increase in water use efficiency (30%) against the 1:1 unity dashed line. Standard error of linear coefficient shown in parentheses.

Consumo Hídrico



Comparison of water use response under elevated CO₂ compared to daytime ambient conditions (365 ppm) of wheat (cv. yitpi) showing significant ($P < 0.10$) mean decrease in water use (7%) against the 1:1 unity dashed line. Standard error of linear coefficient shown in parentheses.

Efeito da elevação da concentração de CO₂

- Ganho fotossintético nas culturas (e daninhas!) C3;
- Ganho fotossintético moderado nas culturas (e daninhas!) C4;
- Ganho na produtividade da água (eficiência de uso de água) das culturas (notadamente C4 em condição de sequeiro)